

# Estadística Aplicada III

## Clasificación y Análisis discriminante

Jorge de la Vega Góngora

Departamento de Estadística,  
Instituto Tecnológico Autónomo de México

Semana 10: 17/19 de octubre de 2018

# Introducción

## Propósito de la discriminación y clasificación

- La **discriminación** intenta *separar* elementos en diferentes grupos predefinidos.
- La **clasificación** intenta ubicar nuevos objetos a diferentes grupos predefinidos.
- Hay dos objetivos típicos de la discriminación y clasificación:
  - ① Descriptivo: encontrar *discriminantes* que mejor separen los grupos.
  - ② Ubicación: A través de reglas, poner los nuevos elementos en los grupos vía los *discriminantes*.

## Orígenes y primeras aplicaciones



Figura: Ronald Avery Fisher joven

- El modelo original de análisis discriminante fue desarrollado por Ronald Aylmer Fisher en 1936 en el artículo: *The use of multiple measurements in taxonomic problems*, utilizando el conjunto de datos Iris de Edgar Anderson.
- Una de las primeras aplicaciones posteriores consistió en clasificar los restos de un cráneo descubierto en una excavación como humano, utilizando la distribución de medidas físicas para los cráneos humanos y los de antropoides.

## Problema general de clasificación I

- Consideren un vector de atributos observables  $\mathbf{x}_i \in \Omega \subset \mathbb{R}^p$  para un objeto o individuo  $i$  que se sabe que debe pertenecer a uno de  $g$  grupos o poblaciones  $\Pi_i$  posibles.
- $\Omega$  es el espacio muestral, y se puede representar como una partición de regiones  $R_i$  correspondientes a las diferentes poblaciones:

$$\Omega = R_1 \cup R_2 \cup \cdots \cup R_g \ni R_i \cap R_j = \emptyset \quad \forall i \neq j$$

### Problema general de clasificación

Dada una observación  $i$  con atributos  $\mathbf{x}_i$ , encontrar una **regla de clasificación** que defina regiones  $R_i$ , usando la información  $\mathbf{x}_i$ , junto con lo que sabemos de las poblaciones  $\Pi_j$ , para ubicar la población de pertenencia de  $i$ , con la máxima precisión posible.

- Este pronóstico puede tener un margen de error, usualmente vinculado a que los atributos pueden darse en más de una región  $R_i$ .
- Lo anterior supone que las poblaciones  $\Pi_j$  son conocidas de antemano.<sup>1</sup>

## Problema general de clasificación II

- El problema de clasificación usualmente se considera como un ejemplo de *aprendizaje supervisado*, en donde un conjunto de *inputs* (o variables independientes o predictores)  $x$ , tienen influencia sobre uno o más *outputs* (o variables dependientes, o respuestas)  $\Pi_j$ . Entonces los *inputs* son usados para predecir el valor de los *outputs*<sup>2</sup>.
- Las reglas de clasificación o asignación se desarrollan “aprendiendo” de la muestra  $x_1, x_2, \dots, x_n$  de la que sabemos de qué población proviene. ¿Cómo sabemos esto de algunas observaciones y no de otras? Por diferentes razones:
  - ▶ por conocimiento incompleto del desempeño futuro.
  - ▶ conocimiento completo requiere la destrucción total del producto.
  - ▶ Información costosa o no disponible.

---

<sup>1</sup>cuando las poblaciones no se conocen de antemano, el análisis se llama *análisis de conglomerados (cluster analysis)*.

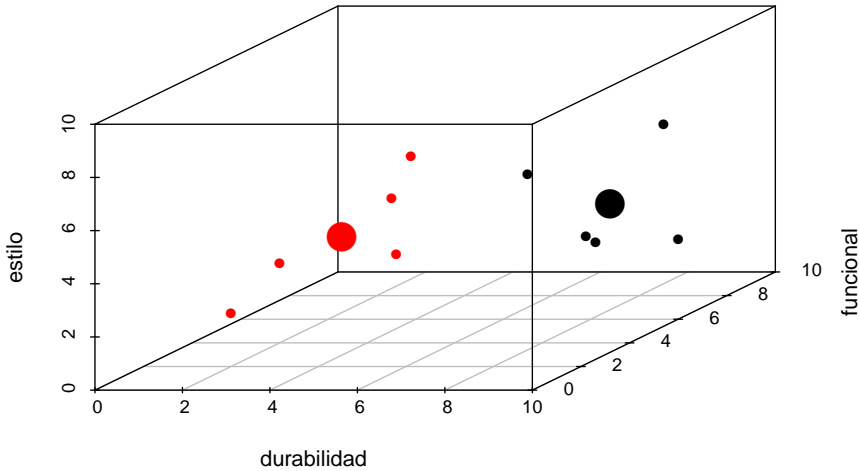
<sup>2</sup>El lenguaje de *inputs* y *outputs* es mucho más común en *Machine Learning*.

## Ejemplo I

Supongan que Ben & Frank quiere saber si ciertos armazones serán comercialmente aceptables. Hacen un estudio de mercado para evaluar sus nuevos armazones en tres características: durabilidad, desempeño y estilo, con una escala que va de 0 (muy mal) a 10 (excelente). Los resultados de las tres variables se muestran a continuación con su representación gráfica. Los puntos grandes representan las medias de cada grupo de compra. Se desea conocer qué características de un nuevo producto son útiles para diferenciar a los compradores de los no-compradores.

```
library(scatterplot3d)
ByF <- data.frame(
  durabilidad = c(8, 6, 10, 9, 7, 5, 3, 4, 2, 2),
  funcional = c(9, 7, 6, 4, 8, 4, 7, 5, 4, 2),
  estilo = c(6, 5, 3, 4, 2, 7, 2, 5, 3, 2),
  compra = c(1, 1, 1, 1, 1, 2, 2, 2, 2, 2)
)
graf <- scatterplot3d(ByF[,1:3], color = ByF$compra, pch = 16, xlim = c(0,10), ylim = c(0,10), zlim = c(0,10))
graf$points3d(rbind(colMeans(ByF[ByF$compra == 1, -4]),
colMeans(ByF[ByF$compra == 2, -4])), pch = 16, col = c(1,2), cex = 3)
```

## Ejemplo II



## Ejemplos de aplicaciones I

- **Diagnóstico clínico:** cada  $\Pi_i$  corresponde a una enfermedad. Los atributos  $x$  pueden ser los resultados de varios exámenes médicos para cada paciente. El problema de clasificación consiste en diagnosticar la enfermedad sobre la base de resultados médicos obtenidos.
- **Bancarrota de una institución financiera:** Se pueden considerar dos poblaciones:  $\Pi_1$  son IF's que caerán en bancarrota en los próximos 12 meses, y  $\Pi_2$  las que no están en esa situación. Entonces  $x$  pueden ser los predictores de default, como número de auditorías, capital social respecto a capital total, etc. (Este modelo fue desarrollado por [Edward Altman](#)).
- **Identificación de especies:**  $\Pi_i$  representa los taxones previamente definidos.  $x$  pueden ser las medidas morfológicas de la planta que un investigador está recolectando. El problema del investigador consiste en clasificar los especímenes que va encontrando en su respectivo taxón.
- **Credit Scoring:** El problema consiste en clasificar a un cliente en dos posibles poblaciones:  $\Pi_1$  son los que pagan a tiempo y  $\Pi_2$  son los que no pagan. Los atributos pueden ser características demográficas (edad, género, grupo social, etc), económicas (número de dependientes, ingreso, tipo de trabajo, etc), entre otras.

## Ejemplos de aplicaciones II

- **Pattern Recognition:** En ingeniería, el problema de discriminación se estudia bajo el nombre anterior, para diseñar máquinas y sistemas capaces de clasificar de manera automática. Ejemplos incluyen los ATM's, las máquinas para pagar el estacionamiento, lectoclasificadoras, etc.

# Modelo

# Reglas de clasificación óptimas

Consideremos inicialmente el caso de  $g = 2$  poblaciones, para simplificar el análisis y ganar intuición.

- Una regla de clasificación debe contemplar los siguientes elementos:
  - ▶ La información inicial o *a priori* disponible a través de las distribuciones  $\pi_i$  de cada una de las poblaciones  $\Pi_i$ .
  - ▶ una función de costo asociada a una clasificación errónea. Usualmente tenemos un caso similar al de los errores tipo I y II:

		Clasificación	
		$\Pi_1$	$\Pi_2$
Pertenencia Real	$\Pi_1$	✓	⊖
	$\Pi_2$	⊖	✓

- ▶ Una opción para sustituir la función de costo, son las probabilidades de clasificación errónea.
- Entonces una regla de clasificación óptima debería tomar en cuenta la información inicial y reducir el costo total o la probabilidad total de clasificación errónea.

# Probabilidades de clasificación I

## Def (Probabilidades asociadas a un problema de clasificación)

- En la población  $\Pi_i$ , los atributos tienen una densidad  $f_i(\mathbf{x})$ .
- Sea  $P(i|j)$  la **probabilidad condicional de clasificar un elemento en la población  $i$ , dado que pertenece a la población  $j$** :

$$P(i|j) = P(\mathbf{x} \in R_i | \Pi_j) = \int_{R_i} f_j(\mathbf{x}) d\mathbf{x}$$

Noten que  $\sum_{i=1}^g P(i|j) = 1$  para cada  $j$ .

- La **probabilidad inicial o a priori** de pertenecer a la población  $i$  es  $\pi_i$ ,  
 $\sum_{i=1}^g \pi_i = 1$ .
- Podemos pensar que la distribución de las observaciones se puede considerar como una *mezcla* de las densidades en cada una de las poblaciones:

$$f(\mathbf{x}) = \pi_1 f_1(\mathbf{x}) + \pi_2 f_2(\mathbf{x}).$$

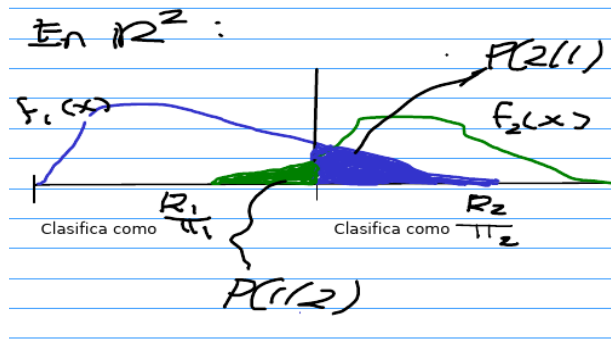
## Probabilidades de clasificación II

- Las probabilidades de clasificación correcta o incorrecta, se pueden expresar en términos de las probabilidades de clasificación errónea y la distribución inicial:

$$\begin{aligned} P(\mathbf{x} \text{ clasificada correctamente en } \Pi_j) &= P(\mathbf{x} \in R_j \cap \mathbf{x} \in \Pi_j) \\ &= P(\mathbf{x} \in R_j | \Pi_j) \pi_j \\ &= P(j|j) \pi_j \end{aligned}$$

$$\begin{aligned} P(\mathbf{x} \text{ clasificada incorrectamente en } \Pi_j) &= P(\mathbf{x} \in R_j \cap \mathbf{x} \in \Pi_i) \\ &= P(\mathbf{x} \in R_j | \Pi_i) \pi_i \\ &= P(j|i) \pi_i \end{aligned}$$

## Probabilidades de clasificación III



# Costos de clasificación errónea I

- Los costos de clasificación pueden ser muy relevantes y diferentes según el error cometido:
  - No es el mismo costo clasificar erróneamente a un paciente con cáncer en el grupo de los pacientes sanos, que clasificar al que no tiene cáncer en el grupo de los enfermos.
  - No es el mismo costo clasificar a un cliente como buen pagador cuando no paga (costo real) que clasificarlo como mal pagador cuando sí paga (costo de pérdida de oportunidad).
- Los costos de clasificación se especifican en la matriz de costos que se mencionó antes:

		Clasificación	
		$\Pi_1$	$\Pi_2$
Pertenencia Real	$\Pi_1$	0	$c(2 1)$
	$\Pi_2$	$c(1 2)$	0

## Costo esperado de clasificación errónea

Para cualquier regla de clasificación, el **costo total esperado de clasificación errónea (ECM)** está dado por:

$$ECM = c(2|1)P(2|1)\pi_1 + c(1|2)P(1|2)\pi_2$$

## Costos de clasificación errónea II

- Como alternativa al costo, se puede usar la **probabilidad total de clasificación errónea** como un criterio de valuación, dada por:

$$TPM = P(2|1)\pi_1 + P(1|2)\pi_2$$

# Criterios para obtener las reglas óptimas de clasificación I

- Se consideran tres criterios diferentes para obtener las regiones óptimas de clasificación:
  - ▶ Costo total esperado de clasificación errónea mínimo (ECM),
  - ▶ Probabilidad total de clasificación errónea mínima (TPM), y
  - ▶ Maximización de la distribución posterior.
- Una regla de clasificación que sea razonable, debería tener un ECM (TPM) tan pequeño como sea posible, así que si  $\hat{\Pi}_a$  representa una regla de clasificación, lo que permite definir un orden en el conjunto de las reglas de clasificación:

## Criterio ECM (TPM)

Se prefiere la regla  $\hat{\Pi}_a$  a  $\hat{\Pi}_b$  si su costo total (probabilidad total de clasificación errónea) esperado(a) es menor,

$$ECM(\hat{\Pi}_a) < ECM(\hat{\Pi}_b)$$

$$(TPM(\hat{\Pi}_a) < TPM(\hat{\Pi}_b))$$

- En el caso de la probabilidad posterior, se utilizar la probabilidad posterior de clasificación una vez que se observa un nuevo caso  $\mathbf{x}_0$

### Criterio de probabilidad posterior máxima

Se prefiere la regla  $\hat{\Pi}_a$ : asigna  $\mathbf{x}_0$  a  $\Pi_1$  a la regla  $\hat{\Pi}_b$ : asigna  $\mathbf{x}_0$  a  $\Pi_j$ ,  $j \neq 1$  siempre que

$$P(\Pi_1 | \mathbf{x}_0) > P(\Pi_j, j \neq 1 | \mathbf{x}_0).$$

## Criterio ECM y TPM I

- El siguiente resultado define cuál es la regla óptima de clasificación que minimiza el costo.

### Teorema (Regiones que minimizan el ECM)

Las regiones  $R_1$  y  $R_2$  que minimizan el ECM están definidas por los siguientes conjuntos:

$$R_1 = \left\{ \mathbf{x} \in \Omega \mid \frac{f_1(\mathbf{x})}{f_2(\mathbf{x})} \geq \frac{c(1|2)\pi_2}{c(2|1)\pi_1} \right\}$$

y

$$R_2 = \Omega \setminus R_1 = \left\{ \mathbf{x} \in \Omega \mid \frac{f_1(\mathbf{x})}{f_2(\mathbf{x})} < \frac{c(1|2)\pi_2}{c(2|1)\pi_1} \right\}$$

En los casos en donde los costos son iguales o las probabilidades iniciales son iguales, las expresiones se reducen de manera directa.

### Demostración.

## Criterio ECM y TPM II

Utilizando las definiciones dadas previamente,

$$ECM = c(2|1)P(2|1)\pi_1 + c(1|2)P(1|2)\pi_2 \quad (1)$$

$$= c(2|1)\pi_1 \int_{R_2} f_1(\mathbf{x}) d\mathbf{x} + c(1|2)\pi_2 \int_{R_1} f_2(\mathbf{x}) d\mathbf{x} \quad (2)$$

$$= c(2|1)\pi_1 \left( 1 - \int_{R_1} f_1(\mathbf{x}) d\mathbf{x} \right) + c(1|2)\pi_2 \int_{R_1} f_2(\mathbf{x}) d\mathbf{x} \quad (3)$$

$$= c(2|1)\pi_1 + \int_{R_1} [c(1|2)\pi_2 f_2(\mathbf{x}) - c(2|1)\pi_1 f_1(\mathbf{x})] d\mathbf{x} \quad (4)$$

La sustitución en (3) es porque  $R_1 \cup R_2 = \Omega$ . Como los costos y las probabilidades son positivos, entonces el  $ECM$  se minimiza cuando  $c(1|2)\pi_2 f_2(\mathbf{x}) - c(2|1)\pi_1 f_1(\mathbf{x}) \leq 0$ . Entonces, definimos  $R_1$  como el conjunto de los valores de  $\mathbf{x}$  tales que

$$c(1|2)\pi_2 f_2(\mathbf{x}) \leq c(2|1)\pi_1 f_1(\mathbf{x})$$

y reacomodando términos,

$$\frac{f_1(\mathbf{x})}{f_2(\mathbf{x})} \geq \frac{c(1|2)\pi_2}{c(2|1)\pi_1}$$

## Criterio ECM y TPM III

como se quería demostrar.



### Criterio de probabilidad total de clasificación errónea (TPM) mínima

Se prefiere  $\hat{\Pi}_a$  a  $\hat{\Pi}_b$  si su TPM es menor,

$$TPM(\hat{\Pi}_a) < TPM(\hat{\Pi}_b)$$

- En este caso, el problema es equivalente a minimizar el ECM cuando  $c(1|2) = c(2|1)$ . (Tarea)

## Criterio basado en maximizar la distribución posterior I

- En este criterio, se busca clasificar a una nueva observación  $\mathbf{x}_0$  a la población que obtenga la probabilidad posterior  $P(\Pi_i|\mathbf{x}_0)$  mayor. De acuerdo al teorema de Bayes,

$$\begin{aligned} P(\Pi_1|\mathbf{x}_0) &= \frac{P(\mathbf{x}_0|\Pi_1)\pi_1}{P(\mathbf{x}_0|\Pi_1)\pi_1 + P(\mathbf{x}_0|\Pi_2)\pi_2} \\ &= \frac{f_1(\mathbf{x}_0)\pi_1}{f_1(\mathbf{x}_0)\pi_1 + f_2(\mathbf{x}_0)\pi_2} \\ P(\Pi_2|\mathbf{x}_0) &= 1 - P(\Pi_1|\mathbf{x}_0) = \frac{f_2(\mathbf{x}_0)\pi_2}{f_1(\mathbf{x}_0)\pi_1 + f_2(\mathbf{x}_0)\pi_2} \end{aligned}$$

- Entonces la regla es: Clasificar  $\mathbf{x}_0 \in \Pi_1$  si  $P(\Pi_1|\mathbf{x}_0) > P(\Pi_2|\mathbf{x}_0)$ .
- La solución matemática de este problema es equivalente a la solución óptima del ECM con costos  $c(1|2) = c(2|1)$  (Tarea).

## Casos con distribución normal

## Caso normal multivariado, poblaciones con varianza común I

- Ahora consideremos el caso donde se tiene un vector  $\mathbf{x}$  con  $p$  atributos que tiene una distribución normal multivariada  $f_1 \sim \mathcal{N}_1(\boldsymbol{\mu}_1, \Sigma)$  cuando pertenece a  $\Pi_1$  o  $f \sim \mathcal{N}_p(\boldsymbol{\mu}_2, \Sigma)$  cuando pertenece a  $\Pi_2$ :

$$f_i(\mathbf{x}) = (2\pi)^{-p/2} |\Sigma|^{-1/2} \exp \left\{ -\frac{1}{2} (\mathbf{x} - \boldsymbol{\mu}_i)' \Sigma^{-1} (\mathbf{x} - \boldsymbol{\mu}_i) \right\}$$

- Para simplificar la notación, consideremos  $D_i^2(\mathbf{x}) = (\mathbf{x} - \boldsymbol{\mu}_i)' \Sigma^{-1} (\mathbf{x} - \boldsymbol{\mu}_i)$  la distancia de Mahalanobis de la observación  $\mathbf{x}$  a la media  $\boldsymbol{\mu}_i$ .
- De acuerdo al criterio de ECM, la regla queda del siguiente modo:  
Se asigna a  $\Pi_1$  si:

$$\frac{f_1(\mathbf{x})}{f_2(\mathbf{x})} \geq \frac{c(1|2)\pi_2}{c(2|1)\pi_1}$$

Sustituyendo las definiciones de  $f_i$ , tomando logaritmos:

$$\log \left( \frac{e^{D_1^2/2}}{e^{D_2^2/2}} \right) = \frac{1}{2}(D_2^2 - D_1^2) \geq \log \left( \frac{\pi_2 c(1|2)}{\pi_1 c(2|1)} \right)$$

### Regla óptima en normal multivariada, con $\Sigma_1 = \Sigma_2 = \Sigma$

Se asigna a  $\mathbf{x} \in \Pi_1$  si:

$$D_2^2(\mathbf{x}) - D_1^2(\mathbf{x}) \geq 2 \log \left( \frac{\pi_2 c(1|2)}{\pi_1 c(2|1)} \right)$$

donde  $D_i^2(\mathbf{x}) = (\mathbf{x} - \boldsymbol{\mu}_i)' \boldsymbol{\Sigma}^{-1} (\mathbf{x} - \boldsymbol{\mu}_i)$  es la distancia de Mahalanobis del punto  $\mathbf{x}$  a la media  $\boldsymbol{\mu}_i$ .

- Noten que cuando los costos y las probabilidades iniciales, la regla asigna la observación a la población que tenga la distancia (medida en términos de la varianza) a la media más cercana: se asigna  $\mathbf{x}$  a  $\Pi_1$  si  $D_2(\mathbf{x}) \geq D_1(\mathbf{x})$ .
- En la práctica, los parámetros poblacionales se sustituyen por los respectivos muestrales,  $\boldsymbol{\mu}_i = \bar{\mathbf{x}}_i$ , y tomando en consideración la varianza combinada:

$$\hat{\boldsymbol{\Sigma}} = \mathbf{S}_p = \frac{(n_1 - 1)\mathbf{S}_1 + (n_2 - 1)\mathbf{S}_2}{n_1 + n_2 - 2}$$

## Ejemplos: datos de Salmón I

- Para distinguir a los salmones canadienses de los americanos (Alaska) se mide el diámetro de los anillos. Usualmente, los anillos de los salmones de río (nacidos en Canadá) son menores a los de los americanos. los datos corresponden a las siguientes variables
  - ▶ lugar: lugar de nacimiento (1=Alaska, 2 = Canadá)
  - ▶ genero: 1 = macho, 2 = hembra.
  - ▶ rio: 100\* diámetro de anillos del primer año en río (pulgadas)
  - ▶ mar: 100\* diámetro de anillos del primer año en mar (pulgadas)
- Bajo el supuesto de normalidad con igualdad de varianzas, podemos estimar los parámetros poblacionales y calcular la matriz de varianza combinada:

## Ejemplos: datos de Salmón II

```
salmon <- read.table("../data/Johnson & Wichern/T11-2.DAT")
names(salmon) <- c("lugar", "genero", "rio", "mar")

n1 <- length(salmon[salmon$lugar==1,]$lugar)
mul <- colMeans(salmon[salmon$lugar==1,c(3,4)]); S1 <- var(salmon[salmon$lugar==1,c(3,4)])
mul; S1

    rio      mar
98.38 429.66
        rio      mar
rio 260.6078 -188.0927
mar -188.0927 1399.0861

n2 <- length(salmon[salmon$lugar==2,]$lugar)
mu2 <- colMeans(salmon[salmon$lugar==2,c(3,4)]); S2 <- var(salmon[salmon$lugar==2,c(3,4)])
mu2; S2

    rio      mar
137.46 366.62
        rio      mar
rio 326.0902 133.5049
mar 133.5049 893.2608

Sp <- ((n1-1)*S1 + (n2-1)*S2) / (n1+n2-2); Sp

    rio      mar
rio 293.34898 -27.29388
mar -27.29388 1146.17347
```

Graficando los puntos, y las medias, obtenemos la población en la que se asignó originalmente cada punto y en la que la regla finalmente asigna:

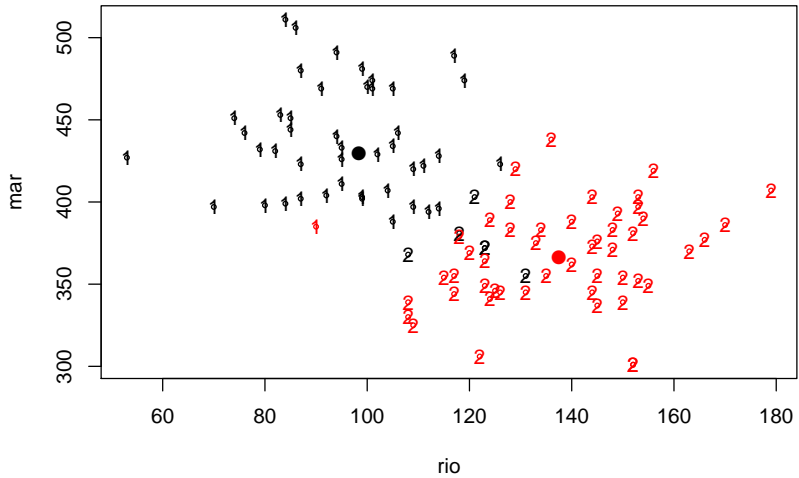
## Ejemplos: datos de Salmón III

```
plot(salmon[,3:4], col=salmon$lugar, cex = 0.5)
points(mu1[1],mu1[2],col=1,pch=16, cex = 1.5)
points(mu2[1],mu2[2],col=2,pch=16, cex = 1.5)

D12 <- function(x) as.numeric(as.numeric((x-mu1)) %% solve(Sp) %% as.numeric(x-mu1))
D22 <- function(x) as.numeric(as.numeric((x-mu2)) %% solve(Sp) %% as.numeric(x-mu2))

for(i in 1:(n1+n2)) points(salmon[i,3], salmon[i,4],
                           pch = ifelse(D12(salmon[i,3:4]) < D22(salmon[i,3:4]), "1",
                           col = ifelse(salmon$lugar[i] == 1, 1, 2))
```

## Ejemplos: datos de Salmón IV



## Interpretación geométrica caso normal con varianza fija. I

- Como las distancias  $D_1^2$  y  $D_2^2$  tienen el término común  $\mathbf{x}'\Sigma^{-1}\mathbf{x}$ , que no depende de la población de la que viene la observación (por tener varianzas iguales), se pueden eliminar y calcular la función indicadora  $l_i(\mathbf{x})$  para cada  $i$ :

$$l_i(\mathbf{x}) = -\boldsymbol{\mu}'_i \Sigma^{-1} \mathbf{x} + \frac{1}{2} \boldsymbol{\mu}_i' \Sigma^{-1} \boldsymbol{\mu}_i - \log \frac{\pi_i}{c(i|j)}$$

- La función  $l_i(\mathbf{x})$  es lineal en  $\mathbf{x}$ . La regla clasifica a  $\mathbf{x}$  en donde esta función lineal sea mínima. Esta regla divide las regiones  $R_1$  y  $R_2$  con frontera definida en donde  $l_1 = l_2$ :

$$-\boldsymbol{\mu}'_1 \Sigma^{-1} \mathbf{x} + \frac{1}{2} \boldsymbol{\mu}_1' \Sigma^{-1} \boldsymbol{\mu}_1 = -\boldsymbol{\mu}'_2 \Sigma^{-1} \mathbf{x} + \frac{1}{2} \boldsymbol{\mu}_2' \Sigma^{-1} \boldsymbol{\mu}_2 - \log \frac{\pi_2 c(1|2)}{\pi_1 c(2|1)} \quad (5)$$

$$(\boldsymbol{\mu}_2 - \boldsymbol{\mu}_1)' \Sigma^{-1} \mathbf{x} = (\boldsymbol{\mu}_2 - \boldsymbol{\mu}_1) \Sigma^{-1} \left( \frac{\boldsymbol{\mu}_1 + \boldsymbol{\mu}_2}{2} \right) - \log \frac{\pi_2 c(1|2)}{\pi_1 c(2|1)} \quad (6)$$

$$\mathbf{w}' \mathbf{x} = \frac{\mathbf{w}' \boldsymbol{\mu}_1 + \mathbf{w}' \boldsymbol{\mu}_2}{2} - \log \frac{\pi_2 c(1|2)}{\pi_1 c(2|1)} \quad (7)$$

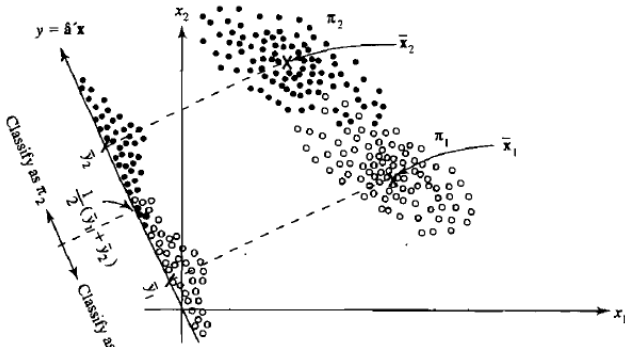
$$z = \frac{\bar{z}_1 + \bar{z}_2}{2} = m \quad (8)$$

- De (5) a (6) se reacomodan los términos, de (6) a (7) definimos

$\mathbf{w} = \Sigma^{-1}(\boldsymbol{\mu}_2 - \boldsymbol{\mu}_1)$  y de (7) a (8) se definen  $z = \mathbf{w}' \mathbf{x}$ ,  $\bar{z}_i = \mathbf{w}' \boldsymbol{\mu}_i - \log \frac{\pi_i}{c(i|j)}$

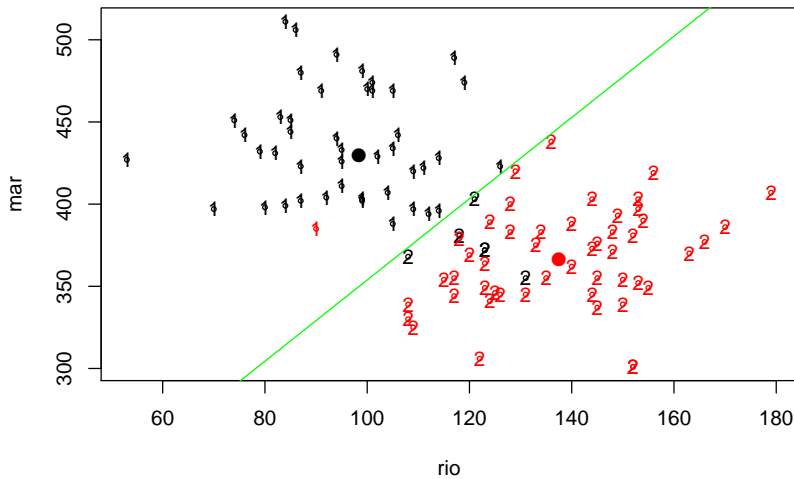
## Interpretación geométrica caso normal con varianza fija. II

Normalizando  $\mathbf{w}$ ,  $\mathbf{u} = \mathbf{w}/\|\mathbf{w}\|$ , vemos que  $\mathbf{u}$  proyecta a  $\mathbf{x}$  en la dirección en donde las distancias (de Mahalanobis) a las medias de las dos poblaciones se maximiza y la regla clasifica en  $\Pi_1$  o  $\Pi_2$  de acuerdo al lado donde quede la observación respecto al promedio de las medias  $\mathbf{m}$  proyectadas en esa dirección.



## Ejemplo (Salmón) I

- Para los datos de Salmón, calculando los coeficientes de la función lineal frontera:



## Ejemplo (Salmón) II

```
- mul %% solve(Sp)
      rio      mar
[1,] -0.3710689 -0.383701

mul %% solve(Sp) %% mul/2

[,1]
[1,] 100.6834

- mu2 %% solve(Sp)
      rio      mar
[1,] -0.4994562 -0.3317579

mu2 %% solve(Sp) %% mu2/2

[,1]
[1,] 95.14216

w <- solve(Sp) %% (mu2-mu1)
w

[,1]
rio 0.12838726
mar -0.05194311

u <- w/sum(w^2)
a <- as.numeric(t(u) %% (mul+mu2)/2)
a

[1] -288.8846

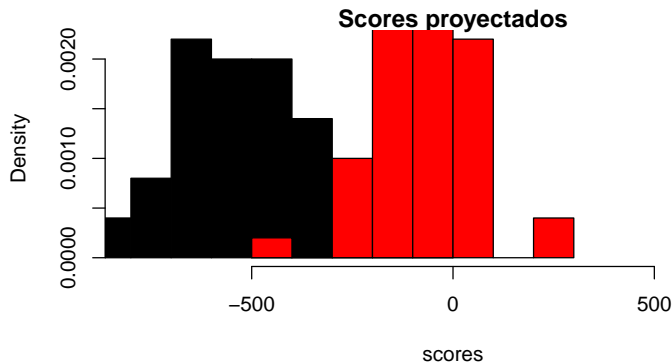
# y <- a/u[2] - u[1]/u[2]*seq(60,180,1)
# lines(seq(60,180,1),y,col="green")
```

## Ejemplo (Salmón) III

Entonces,  $l_1 = -0.371x_1 - 0.384x_2 + 100.683$  y  $l_2 = -0.499x_1 - 0.332x_2 + 95.142$  y la línea frontera está dada por  $y = 106.6783289 + 2.4716899x$ . Esta linea corresponde a la media donde la separación es mayor. la dirección de proyección es perpendicular a esta linea verde.

- Considerando los puntos proyectados en esa dirección, podemos obtener las distribuciones de cada población:

```
scores <- as.matrix(salmon[, 3:4]) %*% u
hist(scores[salmon[, 1]==1], prob=T, xlim=c(-800,800), col = 1, main="Scores proyectados", xlab="scores")
hist(scores[salmon[, 1]==2], prob=T, add=T, col = 2)
```



## Caso normal multivariado, diferentes varianzas I

- Ahora consideremos el caso donde se tiene un vector  $\mathbf{x}$  con  $p$  atributos que tiene una distribución normal multivariada  $f_1 \sim \mathcal{N}_1(\boldsymbol{\mu}_1, \boldsymbol{\Sigma}_1)$  cuando pertenece a  $\Pi_1$  o  $f \sim \mathcal{N}_p(\boldsymbol{\mu}_2, \boldsymbol{\Sigma}_2)$  cuando pertenece a  $\Pi_2$ :

$$f_i(\mathbf{x}) = (2\pi)^{-p/2} |\boldsymbol{\Sigma}_i|^{-1/2} \exp \left\{ -\frac{1}{2} (\mathbf{x} - \boldsymbol{\mu}_i)' \boldsymbol{\Sigma}_i^{-1} (\mathbf{x} - \boldsymbol{\mu}_i) \right\}$$

- De acuerdo al criterio de ECM, la regla queda del siguiente modo:

$$\frac{f_1(\mathbf{x})}{f_2(\mathbf{x})} = \left( \frac{|\boldsymbol{\Sigma}_1|}{|\boldsymbol{\Sigma}_2|} \right)^{-1/2} \exp \left\{ -\frac{1}{2} (\mathbf{x} - \boldsymbol{\mu}_1)' \boldsymbol{\Sigma}_1^{-1} (\mathbf{x} - \boldsymbol{\mu}_1) + \frac{1}{2} (\mathbf{x} - \boldsymbol{\mu}_2)' \boldsymbol{\Sigma}_2^{-1} (\mathbf{x} - \boldsymbol{\mu}_2) \right\}$$

Tomando logaritmos y agrupando los términos con  $\mathbf{x}$  y los términos constantes:

$$\log \frac{f_1(\mathbf{x})}{f_2(\mathbf{x})} = y - m$$

donde:

$$y = -\frac{1}{2} \mathbf{x}' (\boldsymbol{\Sigma}_1^{-1} - \boldsymbol{\Sigma}_2^{-1}) \mathbf{x} + (\boldsymbol{\mu}'_1 \boldsymbol{\Sigma}_1^{-1} - \boldsymbol{\mu}'_2 \boldsymbol{\Sigma}_2^{-1}) \mathbf{x}$$

y

$$m = \frac{1}{2} \log \frac{|\boldsymbol{\Sigma}_1|}{|\boldsymbol{\Sigma}_2|} + \frac{1}{2} (\boldsymbol{\mu}'_1 \boldsymbol{\Sigma}_1^{-1} \boldsymbol{\mu}_1 - \boldsymbol{\mu}'_2 \boldsymbol{\Sigma}_2^{-1} \boldsymbol{\mu}_2)$$

## Caso normal multivariado, diferentes varianzas II

Entonces, finalmente la regla queda como:

### Regla óptima en normal multivariada, con $\Sigma_1 \neq \Sigma_2$

Se asigna a  $\mathbf{x} \in \Pi_1$  si:

$$y \geq m + 2 \log \left( \frac{\pi_2 c(1|2)}{\pi_1 c(2|1)} \right)$$

donde  $y$  y  $m$  se definen como: donde:

$$y = -\frac{1}{2} \mathbf{x}' (\Sigma_1^{-1} - \Sigma_2^{-1}) \mathbf{x} + (\mu_1' \Sigma_1^{-1} - \mu_2' \Sigma_2^{-1}) \mathbf{x}$$

y

$$m = \frac{1}{2} \log \frac{|\Sigma_1|}{|\Sigma_2|} + \frac{1}{2} (\mu_1' \Sigma_1^{-1} \mu_1 - \mu_2' \Sigma_2^{-1} \mu_2)$$

- Igual que en el caso de varianzas iguales, los valores poblacionales se sustituyen por los valores muestrales.
- Noten que ahora  $y$  es una función cuadrática de  $\mathbf{x}$ , y entonces se obtiene una **regla de clasificación cuadrática**.

# Ejemplo (Salmón) I

- Utilizando la regla de clasificación cuadrática, se obtiene lo siguiente:

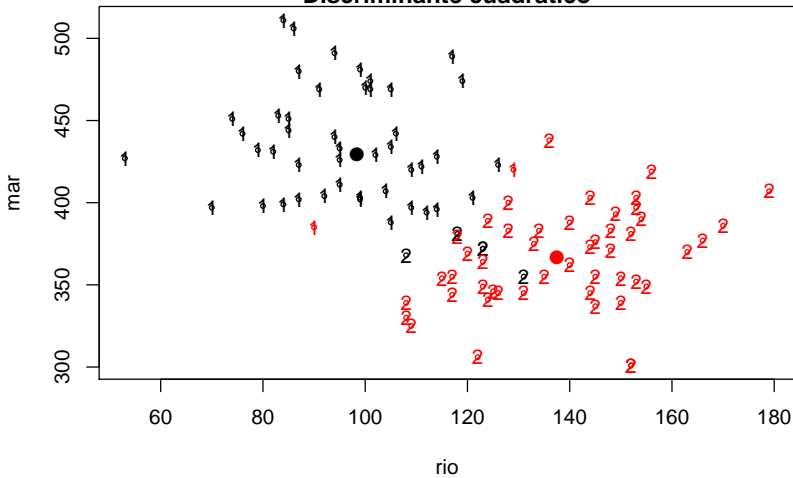
```
y <- function(x) {
  S1inv <- solve(S1)
  S2inv <- solve(S2)
  as.numeric(-1/2*(as.numeric(x) %% (S1inv-S2inv) %% t(x)) +
    (mul %% S1inv - mu2 %% S2inv) %% t(x) )
}
m <- as.numeric( 1/2*log(det(S1)/det(S2)) +
  1/2*(as.numeric(mul %% solve(S1) %% mul) -
    as.numeric(mu2 %% solve(S2) %% mu2)))
m
[1] 31.47367

scores2 <- NULL
for(i in 1:dim(salmon)[1]) scores2[i] <- y(salmon[i,3:4])
scores2
[1] 31.45684 28.41723 40.11924 48.69819 34.91354 38.48761 39.17592 39.45510 40.60294 34.99625
[11] 34.72438 29.98487 29.98487 34.92638 32.60689 34.64363 34.76196 32.27267 36.75946 37.57611
[21] 32.46446 41.24856 36.45559 36.80788 40.93785 41.07534 33.21250 37.30561 40.06059 31.04966
[31] 33.09064 31.88088 41.88440 42.45722 43.24771 36.22155 42.23316 37.62194 36.39959 37.70136
[41] 49.85599 42.91559 43.67171 41.47910 36.79374 38.30632 35.97825 42.68253 44.95221 45.04630
[51] 31.55705 26.62076 21.38283 26.19195 23.85223 30.66861 26.35560 28.13969 27.52626 26.74623
[61] 26.94848 29.49139 27.96379 23.15949 26.04020 26.35316 26.04020 31.25920 27.93581 26.86757
[71] 34.53457 26.55765 29.63729 27.16322 30.02721 28.98004 29.88042 28.63140 30.94255 30.20218
[81] 26.50011 26.11388 26.02937 25.44189 29.21838 29.41416 30.63511 28.11519 24.33223 26.76138
[91] 28.82546 29.82641 29.05474 27.23873 28.26054 26.02057 28.69174 28.75910 25.71112 29.90457
```

## Ejemplo (Salmón) II

- Graficando los resultados se obtiene:

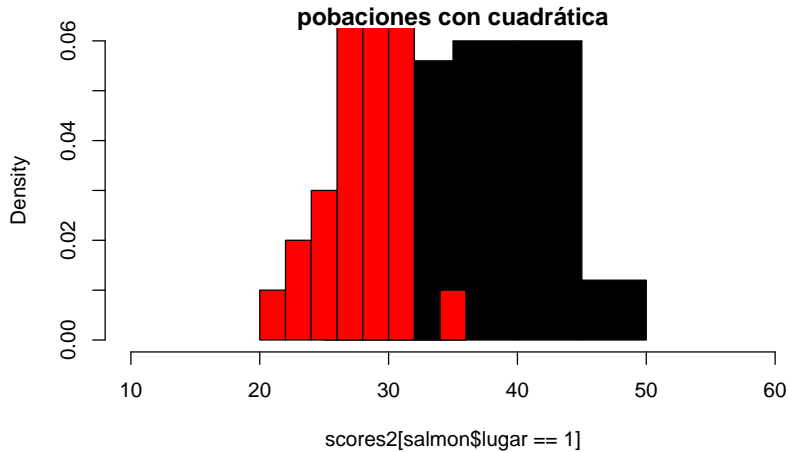
### Discriminante cuadrático



## Ejemplo (Salmón) III

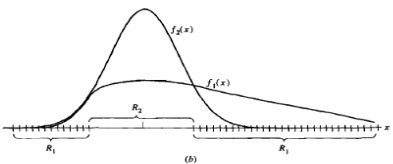
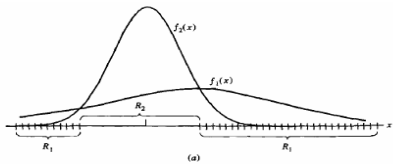
- En este caso, los histogramas quedan de la siguiente manera:

```
hist(scores2[salmon$lugar==1], prob = T, col = 1, xlim = c(10,60),
      main = "poblaciones con cuadrática")
hist(scores2[salmon$lugar==2], prob = T, col = 2, add = T)
```



# Notas sobre reglas cuadráticas para distribuciones no normales. I

- Las regiones resultantes con funciones cuadráticas son típicamente disjuntas y difíciles de interpretar en varias dimensiones.



**Figure 11.6** Quadratic rules for (a) two normal distribution with unequal variances and (b) two distributions, one of which is nonnormal—rule not appropriate.

# Notas sobre reglas cuadráticas para distribuciones no normales.

## II

- El número de parámetros a estimar en el caso lineal es de  $gp + \frac{p(p+1)}{2}$  y en el caso cuadrático es de  $g(p + \frac{p(p+1)}{2})$ . Un número de parámetros puede hacer muy inestable la discriminación cuadrática, salvo que la muestra sea muy grande.
- La regla de discriminación cuadrática es muy sensible a desviaciones de la distribución normal. Usualmente la discriminación lineal es mucho más robusta en esos casos.

## Evaluación de las reglas de clasificación

## Evaluando la regla de clasificación I

- Para determinar si la regla de clasificación es efectiva, se pueden examinar las probabilidades de clasificación errónea, a través de la probabilidad de clasificación errónea mínima (TPM) introducida antes.
- La **Tasa óptima de error (OER)** es el valor mínimo posible de TPM:

$$OER = \min_{R_1, R_2} TPM(R_1, R_2) \quad \text{sujeto a: } \Omega = R_1 \cup R_2$$

que se obtiene como se vió antes, cuando  $x$  se asigna a  $R_1$  si  $\frac{f_1(x)}{f_2(x)} \geq \frac{\pi_2}{\pi_1}$

- El OER requiere que se conozcan los parámetros de las densidades  $f_1$  y  $f_2$  que usualmente son desconocidos, por lo que se considera la **tasa de error real (AER)**:

$$AER(\hat{R}_1, \hat{R}_2) = TPM(\hat{R}_1, \hat{R}_2)$$

- Sin embargo, la AER depende de las funciones de densidad de las poblaciones que usualmente son desconocidas.

## Evaluando la regla de clasificación II

- Una medida de eficiencia que no depende de la forma de las poblaciones es la **Tasa de error aparente (APER)**, que se puede calcular para cualquier regla de clasificación:

$$APER = \frac{n_{M1} + n_{M2}}{n_1 + n_2}$$

es la proporción del total de datos mal clasificados en relación al tamaño de la muestra; los valores de  $n_{M1}$  y  $n_{M2}$  se obtienen de la **matriz de confusión**:

		Clasificación		$n_1$
		$\Pi_1$	$\Pi_2$	
Pertenencia	$\Pi_1$	$n_{C1}$	$n_{M1}$	$n_1$
	$\Pi_2$	$n_{M2}$	$n_{C2}$	

### Ejemplo. [Ejemplo para datos de Salmón]

Para el caso lineal de los datos de salmón, se obtiene:

# Evaluando la regla de clasificación III

```
## APER
salmon$llda <- NULL
for(i in 1:(nl+n2)) salmon$llda[i] <- ifelse(D12(salmon[i,3:4]) < D22(salmon[i,3:4]),1,2)
CM <- table(salmon$lugar,salmon$llda);CM #matriz de confusión

      1   2
1 44   6
2   1 49

APER <- (CM[1,2]+CM[2,1])/sum(CM); APER #tasa de error aparente

[1] 0.07
```

Entonces:

		Clasificación		50
		$\Pi_1$	$\Pi_2$	
Pertenencia Real	$\Pi_1$	44	6	
	$\Pi_2$	1	49	50

y el  $APER = 0.07$ .

Para el caso cuadrático:

## Evaluando la regla de clasificación IV

```
## APER cuadrático
salmon$qda <- NULL
for(i in 1:(n1+n2)) salmon$qda[i] <- ifelse(scores2[i] >= m, 1, 2)
CM <- table(salmon$lugar, salmon$qda); CM #matriz de confusión

      1   2
1 45   5
2   2 48

APER <- (CM[1,2]+CM[2,1])/sum(CM); APER #tasa de error aparente

[1] 0.07
```

Prácticamente en este ejemplo no hay diferencia en el ajuste.



## Validación cruzada tipo jackknife I

- Otro estimador del AER fue propuesto por Lachenbruch (1975) está basado en validación cruzada y jackknife. Para la población  $\Pi_i$ , tomando  $j = 1, \dots, n_i$ :
  - ① Crear la regla de clasificación para  $\Pi_i$  sin la observación  $j$
  - ② Usar la regla de clasificación anterior para clasificar la observación  $i$ .
- Del procedimiento anterior se obtienen  $n_{M1}^*$ , el total de veces que las observaciones retenidas fueron clasificadas incorrectamente en la población 1 y  $n_{M2}^*$  el total de veces que las observaciones retenidas fueron clasificadas en la población 2. Entonces el estimador del AER está dado por:

$$\hat{\theta} = E(\hat{AER}) = \frac{n_{M1}^* + n_{M2}^*}{n_1 + n_2}$$

- Más adelante haremos este ejercicio con las funciones disponibles, porque de otra manera hay que programar el procedimiento.

## Validación Cruzada

## Validación cruzada: ideas básicas I

- La validación cruzada (cross-validation) es una forma de medir el *desempeño predictivo* de un modelo estadístico.
  - ▶ Las estadísticas de ajuste de un modelo no son guía adecuada del poder predictivo del modelo. Por ejemplo, en regresión una  $R^2$  alta no necesariamente indican que el modelo es bueno para predecir (se pueden incluir más términos para mejorar  $R^2$  pero su poder predictivo empeora con el número de términos)
- Con la validación cruzada, podemos evaluar: (1) la estabilidad de los parámetros estimados, (2) la exactitud de un problema de clasificación, (3) la adecuación de un modelo ajustado, etc.
- El jackknife es un caso particular de la validación cruzada.
- El enfoque de la validación cruzada es dividir los datos disponibles en dos conjuntos: un conjunto de *entrenamiento*, que se usa para estimar el modelo y un conjunto de *prueba*, en el que se evalúa el modelo y se obtiene un estimador del error de ajuste del modelo.
- Hay diversas maneras de hacer este procedimiento:
  - ▶ **uno-afuera.** se usan  $n - 1$  datos para estimar el modelo. El modelo se prueba en el dato que se dejó afuera. Esto se puede realizar  $n$  veces se utilizan los errores  $e_i^* = y_i - \hat{y}_i$  para calcular el error cuadrático medio de validación cruzada:  $MSE_{cv} = \frac{\sum_{i=1}^n e_i^2}{n}$
  - ▶ **k-afuera.**
  - ▶ **Muestreo aleatorio.**

## Ejemplo de validación cruzada I

- En el siguiente ejemplo, los datos  $x$  y  $y$  están relacionados, tienen correlación, pero la relación posiblemente no es lineal.

```
x  
[1] 24 16 24 18 18 10 14 16 18 20 21 20 21 15 16 15 17 19 16 15 15 13 24 22 21 24 15 20 20 25 27 22  
[33] 20 24 24 23 29 27 23 19 25 15 16 27 27 30 29 26 25 25 32 28 25  
  
y  
[1] 25 22 17 21 20 13 16 14 19 10 23 20 19 15 16 16 12 15 15 15 15 17 18 16 18 22 20 21 21 21 25 22  
[33] 18 21 18 20 25 20 18 19 16 16 16 26 28 28 30 32 28 36 40 33 33
```

- En este ejemplo, nos concentraremos en el error de predicción, que puede ser estimado por validación cruzada, sin hacer supuestos fuertes acerca del error de la variable.
- Los modelos que se propondrán para la relación son los siguientes:
  - 1 Lineal:  $y = \beta_0 + \beta_1 x + \epsilon$
  - 2 Cuadrático:  $y = \beta_0 + \beta_1 x + \beta_2 x^2 + \epsilon$
  - 3 Exponencial:  $\log(y) = \log(\beta_0) + \beta_1 x + \epsilon$
  - 4 Log-Log:  $\log(y) = \beta_0 + \beta_1 \log(x) + \epsilon$

# Modelos I

```
par(mfrow=c(2, 2))
par(oma=c(1, 1, 1, 1), mar=c(4, 4, 1, 1))
a <- seq(10, 40, 0.1) #sucesión para graficar los ajustes

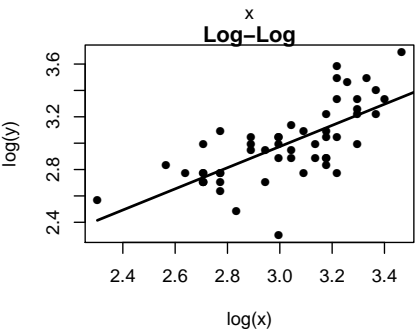
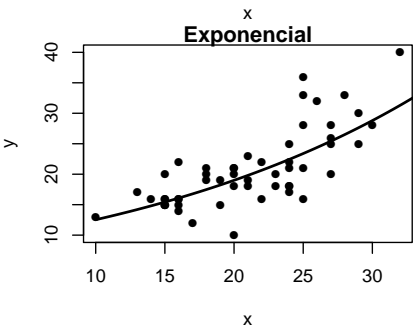
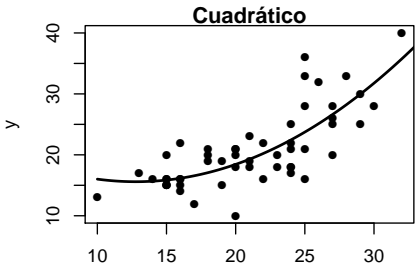
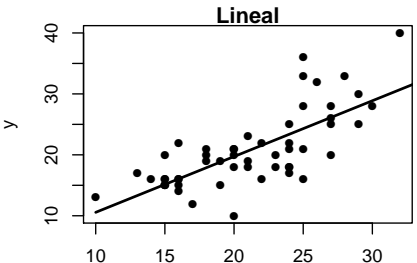
L1 <- lm(y ~ x)
plot(x,y,main="Lineal",pch=16)
yhat1 <- L1$coef[1] + L1$coef[2]*a
lines(a,yhat1,lwd=2)

L2 <- lm(y ~ x + I(x^2))
plot(x,y,main="Cuadrático",pch=16)
yhat2 <- L2$coef[1] + L2$coef[2]*a + L2$coef[3]*a^2
lines(a,yhat2,lwd=2)

L3 <- lm(log(y) ~ x)
plot(x,y,main="Exponencial",pch=16)
logyhat3 <- L3$coef[1] + L3$coef[2]*a
yhat3 <- exp(logyhat3)
lines(a,yhat3,lwd=2)

L4 <- lm(log(y) ~ log(x))
plot(log(x),log(y),main="Log-Log",pch=16)
logyhat4 <- L4$coef[1] + L4$coef[2]*log(a)
lines(log(a),logyhat4,lwd=2)
```

## Modelos II



## Ejemplo Validación Cruzada I

- Una vez que el modelo es ajustado, se evalúa el ajuste.

Procedimiento para estimar el error de predicción usando validación cruzada (uno afuera)

- ① Para  $k = 1, \dots, n$  dejar la observación  $(x_k, y_k)$  para ser el punto de prueba y usar las observaciones restantes para ajustar el modelo.
  - Ajusta el modelo usando sólo  $n - 1$  observaciones en el conjunto de entrenamiento.
  - Calcular la respuesta predictiva  $\hat{y}_k = \hat{\beta}_0 + \hat{\beta}_1 x_k$  para el punto de prueba
  - Calcula el error de predicción  $e_k = y_k - \hat{y}_k$ .
- ② Estima la media de los errores de predicción al cuadrado  $\hat{\sigma}_\epsilon^2 = \frac{1}{n} \sum_{k=1}^n e_k^2$ .

# Ejemplo Validación Cruzada I

```
n <- length(x)
e1 <- e2 <- e3 <- e4 <- numeric(n)

for(k in 1:n) {
  yy <- y[-k]
  xx <- x[-k]
  J1 <- lm(yy ~ xx)
  e1[k] <- y[k] - (J1$coef[1] + J1$coef[2]*x[k])
  J2 <- lm(yy ~ xx + I(xx^2))
  e2[k] <- y[k] - (J2$coef[1] + J2$coef[2]*x[k] + J2$coef[3]*x[k]^2)
  J3 <- lm(log(yy) ~ xx)
  yhat3 <- exp(J3$coef[1] + J3$coef[2]*x[k])
  e3[k] <- y[k] - yhat3
  J4 <- lm(log(yy) ~ log(xx))
  yhat4 <- exp(J4$coef[1] + J4$coef[2]*log(x[k]))
  e4[k] <- y[k] - yhat4
}
```

Los siguientes son los estimados de los errores de predicción

```
c(mean(e1^2), mean(e2^2), mean(e3^2), mean(e4^2))

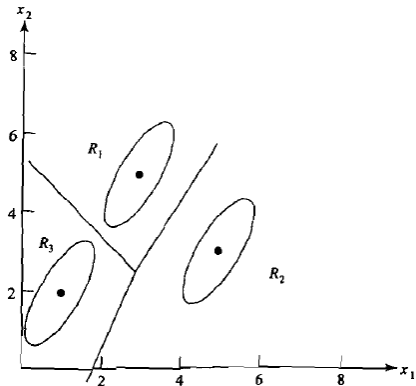
[1] 19.55644 17.85248 18.44188 20.45424
```

Entonces el mejor modelo es el modelo cuadrático que tiene el menor error cuadrático medio de predicción.

## Generalización a $g > 2$ poblaciones

## Generalización a $g > 2$ poblaciones

- La generalización a más de 2 poblaciones es directa. Las definiciones que hemos hecho antes se extienden de manera directa a más de dos poblaciones.
- Ahora tenemos probabilidades condicionales  $P(l|k)$  como las probabilidades condicionales de clasificar en la población  $\Pi_l$  dado que la observación viene de la población  $k$ .
- Los costos serán  $c(l|k)$  y las probabilidades iniciales serán  $\pi_k$  para  $k = 1, 2, \dots, g$ .



## Criterios de evaluación de regla de clasificación cuando $g > 2$ I

- El costo esperado condicional de clasificación errónea de un elemento de la población  $\Pi_k$  es

$$ECM(k) = \sum_{l \neq k} P(l|k)c(l|k)$$

y el costo total esperado es:

$$ECM = \sum_{i=1}^g \pi_i ECM(i) = \sum_{i=1}^g \sum_{\substack{k=1 \\ k \neq i}}^g \pi_i P(k|i)c(k|i)$$

- Las regiones  $\{R_1, R_2, \dots, R_g\}$  que minimizan el ECM están definidas de tal manera que: **asigna  $\mathbf{x}$  a  $\Pi_k$  si se maximiza  $f_k(\mathbf{x})\pi_k$** , o equivalentemente, si se minimiza

$$\sum_{l \neq k} \pi_k f_l(\mathbf{x})c(k|l)$$

- Cuando los costos de clasificación errónea  $c(l|k)$  son todos iguales, entonces la regla anterior también es equivalente a asignar  $\mathbf{x}$  a  $\Pi_k$  si  $f_k(\mathbf{x})\pi_k > f_l(\mathbf{x})\pi_l$  para todo  $l \neq k$ .
- El último caso es equivalente también a maximizar la probabilidad posterior  $P(\Pi_k|\mathbf{x})$ .

## Casos para distribuciones normales I

- Consideraremos los enunciados para los casos normales para múltiples poblaciones, que son extensiones del caso de 2 poblaciones.

Regla de clasificación en poblaciones normales con diferentes varianzas, basada en TPM

Clasifica  $\mathbf{x} \in \Pi_k$  si

$$qda_k(\mathbf{x}) = \max_{i \in \{1, \dots, g\}} \{qda_i(\mathbf{x})\}$$

donde

$$qda_i(\mathbf{x}) = -\frac{1}{2} (\log |\boldsymbol{\Sigma}_i| + D_i^2(\mathbf{x})) + \log \pi_i$$

y  $D_i(\mathbf{x})$  es la distancia de Mahalanobis con covarianza  $\boldsymbol{\Sigma}_i$  a la media de la población  $i$ .

## Casos para distribuciones normales II

- Para varianzas iguales:

Regla de clasificación en poblaciones normales con misma varianza, basada en TPM

Clasifica  $\mathbf{x} \in \Pi_k$  si

$$lda_k(\mathbf{x}) = \max_{i \in \{1, \dots, g\}} \{lda_i(\mathbf{x})\}$$

donde

$$lda_i(\mathbf{x}) = \boldsymbol{\mu}'_i \boldsymbol{\Sigma}^{-1} \mathbf{x} - \frac{1}{2} \boldsymbol{\mu}'_i \boldsymbol{\Sigma}^{-1} \boldsymbol{\mu}_i + \log \pi_i$$

y  $D_i(\mathbf{x})$  es la distancia de Mahalanobis con covarianza  $\boldsymbol{\Sigma}$  a la media de la población  $i$ .

## Enfoque de Fisher para LDA cuando $g > 2$ I

- Para derivar el modelo de más de dos grupos, consideraremos el desarrollo seguido por Ronald Fisher para resolver el problema. Esta versión da los mismos resultados que seguimos previamente para  $g = 2$ .
- El modelo de Fisher **no requiere el supuesto de normalidad**, pero supone, inicialmente, que las varianzas son iguales en todas las poblaciones.
- El enfoque de Fisher consiste en encontrar el menor número de combinaciones lineales  $y_1 = \mathbf{a}'_1 \mathbf{x}, \dots, y_m = \mathbf{a}'_m \mathbf{x}$ ,  $m < g$ , que mejor separe las poblaciones. Supongamos que  $f_k(\mathbf{x})$  tiene media  $\boldsymbol{\mu}_k$  y varianza  $\Sigma$  para la población  $\Pi_k$  (se considera la varianza constante entre poblaciones).
- Sea

$$\mathbf{B}\boldsymbol{\mu} = \sum_{i=1}^g (\boldsymbol{\mu}_k - \bar{\boldsymbol{\mu}})(\boldsymbol{\mu}_k - \bar{\boldsymbol{\mu}})'$$

donde  $\bar{\boldsymbol{\mu}} = \frac{1}{g} \sum_i^g \boldsymbol{\mu}_i$ , la suma de productos cruzados *entre* las medias de los grupos.

## Enfoque de Fisher para LDA cuando $g > 2$ II

- Una combinación lineal  $y = \mathbf{a}'\mathbf{x}$  cambiará su media según la población de la que provenga  $\mathbf{x}$ , si  $\mathbf{x} \in \Pi_k$ :

$$\begin{aligned}\mathbb{E}(y_k | \Pi_k) &= \mathbf{a}' \mathbb{E}(\mathbf{x} | \Pi_k) = \mathbf{a}' \boldsymbol{\mu}_k \\ \text{Var}(y_k | \Pi_k) &= \mathbf{a}' \boldsymbol{\Sigma} \mathbf{a}\end{aligned}$$

Además, para la media global de las combinaciones lineales

$$\bar{\boldsymbol{\mu}}_y = \frac{1}{g} \sum_{i=1}^g \mathbb{E}(y_i | \Pi_i) = \mathbf{a}' \bar{\boldsymbol{\mu}}$$

## Variabilidad entre vs. intra grupo I

- la razón:

$$Q = \frac{\sum_{i=1}^g (\mu_{y_k} - \bar{\mu}_y)^2}{\sigma_y^2} = \frac{\mathbf{a}' \mathbf{B} \boldsymbol{\mu} \mathbf{a}}{\mathbf{a}' \boldsymbol{\Sigma} \mathbf{a}}$$

mide la variabilidad *entre* los grupos de valores de  $y$  relativos a la variabilidad total, dentro de los grupos.

- Fisher selecciona el vector  $\mathbf{a}$  que maximiza este cociente.
- Usualmente, no conocemos los valores poblacionales, pero se cuenta con un conjunto de entrenamiento de observaciones clasificadas correctamente.
- Supongan que el conjunto de entrenamiento es una muestra de  $n_i$  observaciones de la población  $\Pi_i$ . Entonces podemos estimar el cociente  $Q$  con las siguientes cantidades:

## Variabilidad entre vs. intra grupo II

$$\begin{aligned}\bar{\mathbf{x}}_i &= \frac{1}{n_i} \sum_{j=1}^{n_i} \mathbf{x}_{ij} \quad i = 1, 2, \dots, g \\ \bar{\mathbf{x}} &= \frac{1}{g} \sum_{i=1}^g \bar{\mathbf{x}}_i \\ \mathbf{B} &= \sum_{i=1}^g (\bar{\mathbf{x}}_i - \bar{\mathbf{x}})(\bar{\mathbf{x}}_i - \bar{\mathbf{x}})' \\ \mathbf{W} &= \sum_{i=1}^g (n_i - 1) \mathbf{S}_i = \sum_{i=1}^g \sum_{j=1}^{n_i} (\mathbf{x}_{ij} - \bar{\mathbf{x}})(\mathbf{x}_{ij} - \bar{\mathbf{x}})'\end{aligned}$$

- Entonces  $\hat{Q} = \frac{\mathbf{a}' \mathbf{B} \mathbf{a}}{\mathbf{a}' \mathbf{W} \mathbf{a}}$

## Discriminantes muestrales

El  $k$ -ésimo discriminante muestral es la combinación lineal

$$\hat{y}_k = \mathbf{a}'_k \mathbf{x}$$

para  $k = 1, 2, \dots, s = \min\{g - 1, p\}$ , donde  $\mathbf{a}_k$  es proporcional al  $k$ -ésimo vector propio de  $\mathbf{W}^{-1}\mathbf{B}$ .

Los vectores  $\mathbf{a}_k$  se escalan para hacer que  $\hat{y}_k$  tenga varianza unitaria:

$\mathbf{a}'_k \hat{\Sigma} \mathbf{a}_k = 1$  donde

$$\hat{\Sigma} = \mathbf{S}_p = \frac{1}{n - g} \mathbf{W}$$

con  $n = \sum_{k=1}^g n_k$ .

# Clasificación de nuevos elementos con discriminantes muestrales para distribuciones normales multivariadas, caso general I

- Cuando  $\mathbf{x}$  proviene de distribuciones normales,  $f_k(\mathbf{x}) \sim \mathcal{N}_p(\boldsymbol{\mu}_k, \Sigma_k)$
- En este caso, se suponen costos iguales de clasificación errónea. Entonces se asigna  $\mathbf{x}$  a la población  $\Pi_k$  que minimiza  $\sum_{l \neq k} \pi_l f_l(\mathbf{x})$ , que equivale a maximizar  $\pi_k f_k(\mathbf{x})$ .
- Similar al caso  $g = 2$ , tenemos las siguientes reglas:

## Regla de clasificación para $g > 2$ poblaciones normales

Se asigna  $\mathbf{x}$  a  $\Pi_k$  que maximiza:

- ▶ score discriminante cuadrático

$$d_k^Q(\mathbf{x}) = -\frac{1}{2} \log |\mathbf{S}_k| - \frac{1}{2} (\mathbf{x} - \bar{\mathbf{x}}_k)' \mathbf{S}_k^{-1} (\mathbf{x} - \bar{\mathbf{x}}_k) + \log \pi_k$$

cuando las varianzas son diferentes, y

- ▶ score discriminante lineal

$$d_k^L(\mathbf{x}) = \bar{\mathbf{x}}_k)' \mathbf{S}_p^{-1} \mathbf{x} - \frac{1}{2} \bar{\mathbf{x}}_k' \mathbf{S}_p^{-1} \bar{\mathbf{x}}_k + \log \pi_k$$

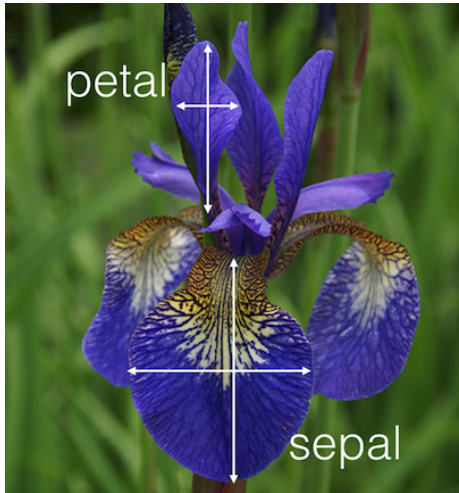
cuando las varianzas son iguales.

- hay métodos de componentes principales en varios paquetes de R:
  - ▶ La función `lda` y `qda` del paquete MASS han sido las principales herramientas durante muchos años.
  - ▶ `klaR`: Funciones misceláneas para clasificación y visualización, algunos métodos no paramétricos y Bayesianos.

## Ejemplo: datos Iris

## Datos Iris

- Los datos consisten en mediciones de  $p = 4$  variables (longitud del sépalo, ancho del sépalo, longitud del pétalo, ancho del pétalo) tomadas de  $n_k = 50$  flores muestreadas alatorialemente de  $g = 3$  especies (setosa, versicolor, virginica).
- El objetivo es crear una función discriminante que mejor clasifique una nueva flor en una de las tres especies.



# Datos Iris I

```
head(iris); p <- 4; g <- 3

Sepal.Length Sepal.Width Petal.Length Petal.Width Species
1          5.1         3.5          1.4         0.2   setosa
2          4.9         3.0          1.4         0.2   setosa
3          4.7         3.2          1.3         0.2   setosa
4          4.6         3.1          1.5         0.2   setosa
5          5.0         3.6          1.4         0.2   setosa
6          5.4         3.9          1.7         0.4   setosa
```

Calculamos las medias muestrales de cada población:  $\bar{x}_1, \bar{x}_2, \bar{x}_3$

```
especies <- unique(iris$Species)
xbari <- list(NULL)
for(i in especies)xbari[[match(i,especies)]] <- colMeans(iris[iris$Species==i,1:p])
xbari

[[1]]
Sepal.Length  Sepal.Width Petal.Length  Petal.Width
      5.006       3.428       1.462       0.246

[[2]]
Sepal.Length  Sepal.Width Petal.Length  Petal.Width
      5.936       2.770       4.260       1.326

[[3]]
Sepal.Length  Sepal.Width Petal.Length  Petal.Width
      6.588       2.974       5.552       2.026
```

Calculamos la matriz combinada  $S_p$

## Datos Iris II

```
Sp <- matrix(0,p,p)
nx <- rep(50,g) #tamaños de muestra por población
for(j in 1:g){
  x <- iris[iris$Species==especies[j],1:p]
  Sp <- Sp + cov(x)*(nx[j]-1)
}
Sp <- Sp/(sum(nx)-g); round(Sp, 4)

Sepal.Length Sepal.Width Petal.Length Petal.Width
Sepal.Length     0.2650      0.0927     0.1675     0.0384
Sepal.Width      0.0927      0.1154     0.0552     0.0327
Petal.Length     0.1675      0.0552     0.1852     0.0427
Petal.Width       0.0384      0.0327     0.0427     0.0419
```

Ajustamos un modelo discriminante lineal con la función `lda` del paquete MASS:

# Datos Iris III

```
library(MASS)
```

Attaching package: 'MASS'

The following object is masked from package:DAAG':  
hills

```
ldal <- lda(Species ~ ., data = iris, prior=rep(1/3, 3))  
ldal
```

Call:

```
lda(Species ~ ., data = iris, prior = rep(1/3, 3))
```

Prior probabilities of groups:

setosa	versicolor	virginica
0.3333333	0.3333333	0.3333333

Group means:

	Sepal.Length	Sepal.Width	Petal.Length	Petal.Width
setosa	5.006	3.428	1.462	0.246
versicolor	5.936	2.770	4.260	1.326
virginica	6.588	2.974	5.552	2.026

Coefficients of linear discriminants:

	LD1	LD2
Sepal.Length	0.8293776	0.02410215
Sepal.Width	1.5344731	2.16452123
Petal.Length	-2.2012117	-0.93192121
Petal.Width	-2.8104603	2.83918785

Proportion of trace:

LD1	LD2
0.9912	0.0088

## Datos Iris IV

- Noten que los coeficientes de los discriminantes lineales corresponden a la matriz que definimos  $\mathbf{A}$ .
- También vemos que el primer discriminante es el que más contribuye a la separación de las medias y el segundo discriminante prácticamente no contribuye a la separación.
- Calculamos los scores  $\hat{\mathbf{y}} = \mathbf{A}'(\mathbf{x} - \bar{\mathbf{x}}_i)$  para todas las observaciones:

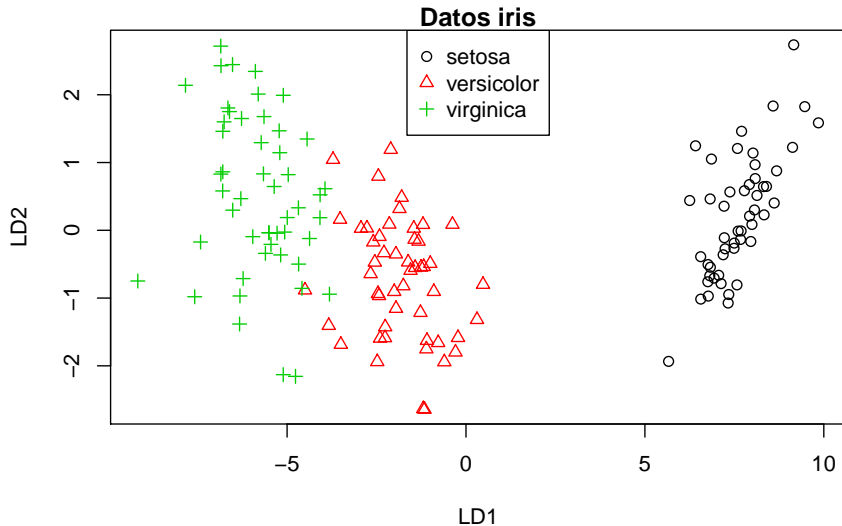
```
mu_k <- ldal$means
mu <- colMeans(mu_k)    #media global
scores <- scale(iris[,1:p], center = mu, scale=F) %*% ldal$scaling
scores2 <- predict(ldal)$x      #otra manera de calcular los scores
#comparamos los scores:
sum(scores-scores2)^2

[1] 9.653312e-27
```

A continuación se grafican los scores en las direcciones de los dos discriminantes.

```
plot(scores, xlab="LD1", ylab="LD2", col=as.numeric(iris$Species),
      pch = as.numeric(iris$Species), main= "Datos iris")
legend("top", legend = especies, pch = 1:3, col = 1:3)
```

## Datos Iris V

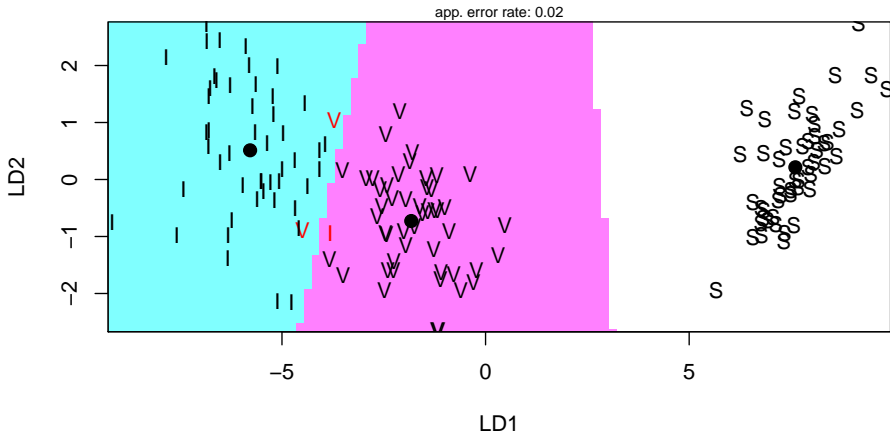


En términos de gráficas, podemos encontrar explícitamente las regiones  $R_i$  una vez que tenemos las fronteras de las regiones, utilizando el paquete klaR.

# Datos Iris VI

```
library(klaR)
especies <- factor(rep(c("S","V","I"), rep(50,3)))
partimat(x = scores[,2:1], grouping = especies, method = "lda")
```

## Partition Plot



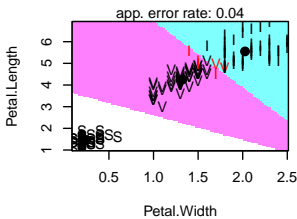
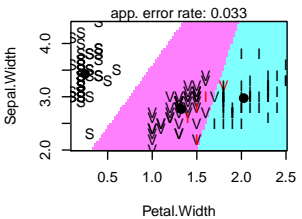
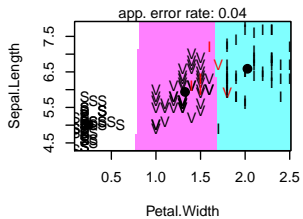
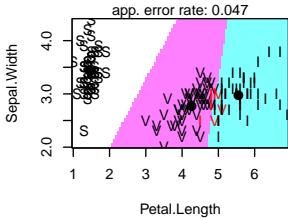
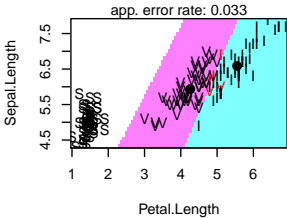
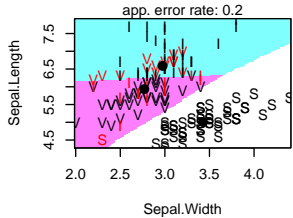
## Datos Iris VII

Podemos graficar todos los pares de variables y marcar las regiones:

```
par(mfrow = c(2,3))
partimat(x = iris[,-5], grouping = especies, method = "lda")
```

# Datos Iris VIII

## Partition Plot



Podemos también ver las regiones cuadráticas:

```
par(mfrow = c(2,3))
partimat(x = iris[,-5], grouping = especies, method = "qda")
```

# Datos Iris IX

## Partition Plot

